

**PEMETAAN SUHU PERMUKAAN LAUT DAN KEASAMAN
AIR LAUT DI PESISIR PANTAI SAMPANG MADURA
DENGAN DATA CITRA SATELIT**

TUGAS AKHIR



Disusun oleh:

SUHARTONO
1653010049

**PROGRAM STUDI TEKNIK SIPIL
FAKULTAS TEKNIK
UNIVERSITAS PEMBANGUNAN NASIONAL “VETERAN”
JAWA TIMUR
2021**

LEMBAR PENGESAHAN TUGAS AKHIR

PEMETAAN SUHU PERMUKAAN LAUT DAN KEASAMAN AIR LAUT DI
PESISIR PANTAI SAMPANG MADURA DENGAN DATA CITRA SATELIT

Disusun oleh :

SUHARTONO
NPM. 1653010049

Telah diuji, dipertahankan, dan diterima oleh Tim Penguji Tugas Akhir
Program Studi Teknik Sipil Fakultas Teknik
Universitas Pembangunan Nasional "Veteran" Jawa Timur
Pada Hari Kamis, 20 Mei 2021

Dosen Pembimbing I



Ir. Hendrata Wibisana, M.T.
NIP. 196512081991031001

Dosen Pembimbing II



Ir. Siti Zainab, M.T.
NIP. 196001051993032001

Mengetahui, Dekan Fakultas Teknik
Universitas Pembangunan Nasional "Veteran" Jawa Timur


Dr. Dra. Jariyah M.P.
NIP. 19650403 199103 2 001

LEMBAR PENGESAHAN TUGAS AKHIR

PEMETAAN SUHU PERMUKAAN LAUT DAN KEASAMAN AIR LAUT DI
PESISIR PANTAI SAMPANG MADURA DENGAN DATA CITRA SATELIT

Disusun oleh :

SUHARTONO
NPM. 1653010049

Telah diuji, dipertahankan, dan diterima oleh Tim Penguji Tugas Akhir
Program Studi Teknik Sipil Fakultas Teknik
Universitas Pembangunan Nasional "Veteran" Jawa Timur
Pada Hari Kamis, 20 Mei 2021

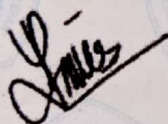
Pembimbing:

1. Pembimbing Utama



Ir. Hendarata Wibisana, M.T.
NIP. 196512081991031001

2. Pembimbing Pendamping



Ir. Siti Zainab, M.T.
NIP. 196001051993032001

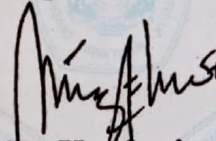
Tim Penguji:

1. Penguji I



Masliyah, S.T., M.T.
NIP.

2. Penguji II



Farida Hardaningrum, S.si., M.T.
NIDN. 0720 127002

3. Penguji III

Ronny Durrotun Nasihien, S.T., M.T.
NIDN. 0711 037001

Mengetahui, Dekan Fakultas Teknik
Universitas Pembangunan Nasional "Veteran" Jawa Timur



Dr. Dra. Jariyah M.P.
NIP. 19650403 199103 2 001

PEMETAAN SUHU PERMUKAAN LAUT DAN KEASAMAN AIR LAUT DI PESISIR PANTAI SAMPANG MADURA DENGAN DATA CITRA SATELIT

ABSTRAK

Indonesia memiliki keunggulan dalam potensi sumber daya kelautan yang baik. Salah satunya di Pulau Madura, yang rata-rata masyarakatnya memanfaatkan sumber daya alam kelautan sebagai mata pencarian. Pemantauan kondisi lautan seperti suhu permukaan laut (SPL) dan keasaman (pH) air laut digunakan untuk memudahkan dan mengefisiensi pemanfaatan sumber daya kelautan yaitu dengan menggunakan teknologi penginderaan jauh dari citra satelit Aqua MODIS yang nantinya dapat digunakan sebagai basis data di bidang Teknik Sipil dalam perencanaan dan pembangunan bangunan air seperti pelabuhan dan dermaga. Dalam penelitian ini dapat digunakan untuk pemetaan SPL dan pH menggunakan data lapangan (insitu) dan data dari citra satelit Aqua MODIS dengan bantuan aplikasi SeaDAS. Data yang digunakan dari citra satelit Aqua MODIS adalah data tahun 2016-2020, dengan panjang gelombang 412 nm, 531 nm dan 667 nm. Hasil analisa dan pembahasan data citra satelit disimpulkan bahwa data terbaik adalah data citra tahun 2020. Untuk SPL dengan panjang gelombang **412 nm** persamaan *linear* dengan model algoritma $SPL = -833,87x + 33,119$, nilai $R^2 = 0,3899$ dan nilai korelasi $R = 0,786765$ yang memiliki korelasi positif cukup kuat. Hasil analisa yang terbaik untuk pH dengan panjang gelombang **667 nm** persamaan *power* dengan model algoritma $pH = 7,8848x^{-0,001}$, nilai $R^2 = 0,0272$ dan nilai korelasi $R = 0,845154$ yang memiliki korelasi positif sangat kuat.

Kata kunci : *Suhu Permukaan Laut (SPL), Derajat Keasaman (pH), Aqua MODIS*

MAPPING OF SEA SURFACE TEMPERATURE AND ACIDITY OF SEAWATER ON THE COAST OF SAMPANG MADURA BEACH WITH SATELLITE IMAGE DATA

ABSTRACT

Indonesia has an advantage in the potential for good marine resources. One of them is Madura Island, where most of the people use marine natural resources for their livelihoods. Monitoring of ocean conditions such as sea surface temperature (SST) and acidity (pH) of seawater is used to facilitate efficient use of marine resources, namely by using remote sensing technology from Aqua MODIS satellite imagery which can later be used as a database in the field of Civil Engineering in planning and construction of water structures such as ports and docks. In this study, it can be used for mapping SST and pH using field data (in situ) and data from Aqua MODIS satellite imagery with the help of the SeaDAS application. The data used from the Aqua MODIS satellite imagery is data from 2016-2020, with a wavelength of 412 nm, 531 nm, and 667 nm. The results of the analysis and discussion of satellite image data concluded that the best data was the 2020 image data. For SST with a wavelength of **412 nm** the *linear* equations with the SPL algorithm model $SST = -833.87x + 33.119$, $R^2 = 0.3899$ and correlation value **0.786765** which has a fairly strong positive correlation. For pH with a wavelength of **667 nm** the *power* equation uses an algorithmic model $pH = 7,8848x^{-0,001}$, $R^2 = 0,0272$ and correlation value **0,845154** which has very strong positive correlation.

Keywords : *Sea Surface Temperature (SST), Degree of Acidity (pH), Aqua MODIS*

KATA PENGANTAR

Puji dan syukur penulis ucapkan kepada Tuhan Yang Maha Esa karena berkat dan rahmat-Nya penulis dapat menyelesaikan Tugas Akhir dengan judul “Pemetaan Suhu Permukaan Laut dan Keasaman Air Laut di Pesisir Pantai Sampang Madura dengan data Citra Satelit”. Adapun tujuan Tugas Akhir ini yaitu untuk melengkapi tugas akademik dan memenuhi salah satu persyaratan untuk menyelesaikan pendidikan strata satu (S1) di Fakultas Teknik Program Studi Teknik Sipil Universitas Pembangunan Nasional “Veteran” Jawa Timur.

Pada kesempatan ini, penulis tidak lupa mengucapkan terima kasih kepada semua pihak yang telah memberikan dukungan moril maupun materiil sehingga laporan penelitian ini dapat selesai. Ucapan terima kasih ini penulis tujuhan kepada Bapak/Ibu:

1. Dr. Dra. Jariyah, MP., selaku Dekan Fakultas Teknik Universitas Pembangunan Nasional “Veteran” Jawa Timur
2. Dr. Ir. Minarni Nur Trilita, MT., selaku Koordinator Program Studi Teknik Sipil Universitas Pembangunan Nasional “Veteran” Jawa Timur.
3. Ir. Hendrata Wibisana, MT., selaku dosen pembimbing pertama Program Studi Teknik Sipil Universitas Pembangunan Nasional “Veteran” Jawa Timur.
4. Ir. Siti Zainab, MT., selaku dosen pembimbing kedua Program Studi Teknik Sipil Universitas Pembangunan Nasional “Veteran” Jawa Timur.

5. Segenap dosen dan staf Program Studi Teknik Sipil Universitas Pembangunan Nasional “Veteran” Jawa Timur yang telah memberikan bekal ilmu dan pengetahuan yang berguna.
6. Kedua orang tua, kakak dan saudara yang terus memotivasi dalam mengerjakan Tugas Akhir ini.
7. Segenap teman-teman yang sangat membantu dalam penyusunan Tugas Akhir ini.

Penulis menyadari bahwa masih banyak kekurangan dalam penyusunan Tugas Akhir ini. Oleh karena itu penulis sangat mengharapkan kritik dan saran dari para pembaca guna menyempurnakan segala kekurangan dalam penyusunan laporan penelitian ini. Semoga Tugas Akhir ini bermanfaat bagi pembaca dan khususnya bagi para generasi penerus Program Studi Teknik Sipil Universitas Pembangunan Nasional “Veteran” Jawa Timur.

Surabaya, 24 Mei 2021

DAFTAR ISI

ABSTRAK	i
KATA PENGANTAR	iii
DAFTAR ISI.....	v
DAFTAR GAMBAR	viii
DAFTAR TABEL	xi
BAB I PENDAHULUAN.....	1
1.1. Latar Belakang	1
1.2. Rumusan Masalah	3
1.3. Tujuan Penelitian	4
1.4. Batasan Masalah	4
1.5. Lokasi Penelitian	5
BAB II TINJAUAN PUSTAKA	6
2.1. Penelitian Terdahulu	6
2.2. Penginderaan Jauh	8
2.2.1. Pengertian Menurut Para Ahli	9
2.2.2. Komponen-Komponen Penginderaan Jauh	10
2.2.3. Manfaat Penginderaan Jauh	11
2.2.4. Koreksi Citra	12
2.2.5. GPS (<i>Global Positioning System</i>)	13
2.2.6. SeaDAS (<i>SeaWiFS Data Analysis System</i>)	14
2.3. Citra Satelit Aqua MODIS	14

2.4. Suhu Permukaan Laut	17
2.5. Keasaman Laut	18
2.5.1. Sumber Keasaman Laut	19
2.5.2. Mekanisme Keasaman Laut	19
2.5.3. Dampak Keasaman Laut	20
2.5.4. Derajat Keasaman (pH)	22
2.6. Regresi dan Korelasi	24
2.6.1. Regresi	24
2.6.2. Korelasi	26
2.7. Uji T dan Uji ANOVA	28
2.7.1. Uji T	28
2.7.2. Uji Analisis of Variance (ANOVA)	29
BAB III METODOLOGI PENELITIAN	31
3.1. Metode Penelitian	31
3.2. Lokasi Penelitian	31
3.3. Identifikasi Permasalahan	32
3.4. Studi Literatur	32
3.5. Alat dan Bahan Penelitian	32
3.6. Survei Lapangan	33
3.7. Pengumpulan Data	33
3.8. Diagram Alir Penelitian	35
3.9. Diagram Alir Pengolahan Data SIG	36

BAB IV ANALISA DAN PEMBAHASAN	37
4.1. Data Titik Koordinat Suhu Permukaan Laut (SPL) dan Derajat Keasaman (pH)	37
4.2. Pengolahan Data Citra Satelit Aqua MODIS	39
4.3. Pengolahan Data Citra untuk Suhu Permukaan Laut (SPL)	43
4.3.1. Perhitungan Model Algoritma untuk Suhu Permukaan Laut (SPL)	52
4.3.2. Pemetaan Suhu Permukaan Laut (SPL)	56
4.4. Pengolahan Data Citra untuk Derajat Keasaman (pH)	62
4.4.1. Perhitungan dengan Model Algoritma untuk Derajat Keasaman (pH)	70
4.4.2. Pemetaan Derajat Keasaman (pH)	74
BAB V KESIMPULAN DAN SARAN	80
5.1. Kesimpulan	80
5.2. Saran	81
DAFTAR PUSTAKA	82
LAMPIRAN	84

DAFTAR GAMBAR

Gambar 1.1 Wilayah Kabupaten Sampang	5
Gambar 1.2 Lokasi Penelitian di Pesisir Pantai Camplong Kabupaten Sampang	5
Gambar 3.1 Diagram Alir Penelitian	35
Gambar 3.2 Diagram Alir Pengolahan Data SIG	36
Gambar 4.1 Peta Kabupaten Sampang Madura	37
Gambar 4.2 Titik Koordinat Pengambilan Data SPL dan pH	38
Gambar 4.3 Grafik <i>Scatter</i> SPL Persamaan <i>Linear</i> Pada Band 412 nm	44
Gambar 4.4 Grafik <i>Scatter</i> SPL Persamaan <i>Exponential</i> Pada Band 412 nm ..	44
Gambar 4.5 Grafik <i>Scatter</i> SPL Persamaan <i>Logarithmic</i> Pada Band 412 nm .	45
Gambar 4.6 Grafik <i>Scatter</i> SPL Persamaan <i>Power</i> Pada Band 412 nm	45
Gambar 4.7 Grafik <i>Scatter</i> SPL Persamaan <i>Linear</i> Pada Band 531 nm	46
Gambar 4.8 Grafik <i>Scatter</i> SPL Persamaan <i>Exponential</i> Pada Band 531 nm ..	46
Gambar 4.9 Grafik <i>Scatter</i> SPL Persamaan <i>Logarithmic</i> Pada Band 531 nm .	47
Gambar 4.10 Grafik <i>Scatter</i> SPL Persamaan <i>Power</i> Pada Band 531 nm	47
Gambar 4.11 Grafik <i>Scatter</i> SPL Persamaan <i>Linear</i> Pada Band 667 nm	48
Gambar 4.12 Grafik <i>Scatter</i> SPL Persamaan <i>Exponential</i> Pada Band 667 nm .	48
Gambar 4.13 Grafik <i>Scatter</i> SPL Persamaan <i>Logarithmic</i> Pada Band 667 nm .	49
Gambar 4.14 Grafik <i>Scatter</i> SPL Persamaan <i>Power</i> Pada Band 667 nm	49
Gambar 4.15 Grafik <i>Line</i> Hasil Pengolahan Data Suhu Permukaan Laut (SPL)	53

Gambar 4.16 Peta Tematik Suhu Permukaan Laut (SPL) di Pesisir Pantai Sampang Madura bulan November 2016	57
Gambar 4.17 Peta Tematik Suhu Permukaan Laut (SPL) di Pesisir Pantai Sampang Madura bulan November 2017	58
Gambar 4.18 Peta Tematik Suhu Permukaan Laut (SPL) di Pesisir Pantai Sampang Madura bulan November 2018	59
Gambar 4.19 Peta Tematik Suhu Permukaan Laut (SPL) di Pesisir Pantai Sampang Madura bulan November 2019	60
Gambar 4.20 Peta Tematik Suhu Permukaan Laut (SPL) di Pesisir Pantai Sampang Madura bulan November 2020	61
Gambar 4.21 Grafik <i>Scatter</i> pH Persamaan <i>Linear</i> Pada Band 412 nm	62
Gambar 4.22 Grafik <i>Scatter</i> pH Persamaan <i>Exponential</i> Pada Band 412 nm ..	62
Gambar 4.23 Grafik <i>Scatter</i> pH Persamaan <i>Logarithmic</i> Pada Band 412 nm .	63
Gambar 4.24 Grafik <i>Scatter</i> pH Persamaan <i>Power</i> Pada Band 412 nm	63
Gambar 4.25 Grafik <i>Scatter</i> pH Persamaan <i>Linear</i> Pada Band 531 nm	64
Gambar 4.26 Grafik <i>Scatter</i> pH Persamaan <i>Exponential</i> Pada Band 531 nm ..	64
Gambar 4.27 Grafik <i>Scatter</i> pH Persamaan <i>Logarithmic</i> Pada Band 531 nm .	65
Gambar 4.28 Grafik <i>Scatter</i> pH Persamaan <i>Power</i> Pada Band 531 nm	65
Gambar 4.29 Grafik <i>Scatter</i> pH Persamaan <i>Linear</i> Pada Band 667 nm	66
Gambar 4.30 Grafik <i>Scatter</i> pH Persamaan <i>Exponential</i> Pada Band 667 nm ..	66
Gambar 4.31 Grafik <i>Scatter</i> pH Persamaan <i>Logarithmic</i> Pada Band 667 nm .	67
Gambar 4.32 Grafik <i>Scatter</i> pH Persamaan <i>Power</i> Pada Band 667 nm	67

Gambar 4.33 Grafik *Line* Hasil Pengolahan Data Nilai Derajat Keasaman (pH)

71

Gambar 4.34 Peta Tematik Derajat Keasaman (pH) di Pesisir Pantai Sampang

Madura bulan November 2016 75

Gambar 4.35 Peta Tematik Derajat Keasaman (pH) di Pesisir Pantai Sampang

Madura bulan November 2017 76

Gambar 4.36 Peta Tematik Derajat Keasaman (pH) di Pesisir Pantai Sampang

Madura bulan November 2018 77

Gambar 4.37 Peta Tematik Derajat Keasaman (pH) di Pesisir Pantai Sampang

Madura bulan November 2019 78

Gambar 4.38 Peta Tematik Derajat Keasaman (pH) di Pesisir Pantai Sampang

Madura bulan November 2020 79

DAFTAR TABEL

Tabel 2.1 Pedoman Kriteria Korelasi	27
Tabel 4.1 Titik Koordinat Pengambilan Data Insitu SPL dan pH	38
Tabel 4.1 Titik Koordinat Pengambilan Data Insitu SPL dan pH (lanjutan)	39
Tabel 4.2 Nilai Reflektans dari Citra Satelit Aqua MODIS bulan November 2016	39
Tabel 4.2 Nilai Reflektans dari Citra Satelit Aqua MODIS bulan November 2016 (lanjutan)	40
Tabel 4.3 Nilai Reflektans dari Citra Satelit Aqua MODIS bulan November 2017	40
Tabel 4.3 Nilai Reflektans dari Citra Satelit Aqua MODIS bulan November 2017 (lanjutan)	41
Tabel 4.4 Nilai Reflektans dari Citra Satelit Aqua MODIS bulan November 2018	41
Tabel 4.5 Nilai Reflektans dari Citra Satelit Aqua MODIS bulan November 2019	42
Tabel 4.6 Nilai Reflektans dari Citra Satelit Aqua MODIS bulan November 2020	42
Tabel 4.6 Nilai Reflektans dari Citra Satelit Aqua MODIS bulan November 2020 (lanjutan)	43
Tabel 4.7 Rekapitulasi Hasil Pengolahan Data SPL pada Band Rrs_412, Rrs_531 dan Rrs_667 bulan November 2020	50
Tabel 4.8 Validasi Band Citra Satelit Rrs_412 bulan November 2020	51

Tabel 4.9 Perbandingan Nilai Korelasi dengan Suhu Insitu	51
Tabel 4.10 Hasil Pengolahan Data Nilai Suhu Permukaan Laut (SPL) dengan Model Algoritma	52
Tabel 4.11 ANOVA: Two-Factor Without Replication untuk SPL	54
Tabel 4.12 ANOVA untuk SPL	54
Tabel 4.13 Korelasi antara Data SPL Insitu dengan SPL Citra	56
Tabel 4.14 Rekapitulasi Hasil Pengolahan Data pH pada Band Rrs_412, Rrs_531 dan Rrs_667 bulan November 2020	68
Tabel 4.15 Validasi Band Citra Satelit Rrs_667 bulan November 2020	69
Tabel 4.16 Perbandingan Nilai Korelasi pH Insitu	69
Tabel 4.17 Hasil Pengolahan Data Derajat Keasaman (pH) dengan Model Algoritma	70
Tabel 4.18 ANOVA: Two-Factor Without Replication untuk pH	72
Tabel 4.19 ANOVA untuk pH	72
Tabel 4.20 Korelasi antara Data pH Insitu dengan pH Citra	73